

УДК 535.03:519.06

## ВОЛНОВЫЕ ПУЧКИ В АКТИВНЫХ ПЕРИОДИЧЕСКИХ СТРУКТУРАХ С КВАДРАТИЧНОЙ НЕЛИНЕЙНОСТЬЮ

© 2021 г. М. В. Комиссарова<sup>1</sup>, И. Г. Захарова<sup>1</sup>, \*, Т. М. Лысак<sup>1</sup>, А. А. Калинович<sup>1</sup>

<sup>1</sup>Федеральное государственное бюджетное образовательное учреждение высшего образования “Московский государственный университет имени М.В. Ломоносова”, Москва, Россия

\*E-mail: zaharova@physics.msu.ru

Поступила в редакцию 05.07.2021 г.

После доработки 26.07.2021 г.

Принята к публикации 27.08.2021 г.

Исследованы особенности формирования параметрических оптических солитонов в допированной активными элементами брэгговской структуре с квадратичной нелинейностью. С помощью численного моделирования продемонстрировано, что конкуренция нелинейной связи, брэгговского отражения и дополнительного профиля усиления/поглощения приводит, в целом, к асимметричной картине распространения двухчастотных солитонов.

DOI: 10.31857/S0367676521120103

### ВВЕДЕНИЕ

Важным фактором, влияющим на особенности распространения волн в периодических структурах (ПС), является наличие или отсутствие консервативности системы. В последнее время в центре внимания исследователей находятся активные искусственные ПС, т.е. такие структуры, в которых консервативность нарушена. Изготовить подобную структуру возможно путем допирования основного материала какими-либо активными элементами, например ионами редкоземельных металлов. Такой подход используется, например, при создании структур с симметрией четность-время, так называемых *PT*- (parity-time) симметричных ПС. Дополнительный профиль усиления/поглощения, возникающий за счет чередования слоев из усиливающих и поглощающих материалов, обуславливает необычные асимметричные свойства оптических сред с *PT*-симметрией. Применение *PT*-симметричных ПС открывает новые возможности в управлении, усилении и генерации оптического излучения, поэтому исследования по данной теме весьма актуальны.

В отличие от неперiodических структур, распространение излучения в линейных ПС приводит к возникновению запрещенной полосы частот, что в свою очередь порождает обратные волны. Несмотря на энергетические потери в ПС за счет поглощения, возможно компенсировать их и даже использовать для создания новых оптических устройств.

Инициированные в работе [1] в 1998 г. исследования *PT*-симметрии, оформились как чрезвычайно активная и плодотворная научная область, имеющая теоретическое, экспериментальное и коммерческое применение. В *PT*-симметричных оптических системах возможно достижение энергетического баланса поглощения и усиления, поскольку волна усиливается в некоторых областях системы и ослабляется в других [2].

Оптические системы в параксиальном приближении описываются системами уравнений типа Шредингера. Поэтому их можно рассматривать как *PT*-симметричные системы, считая диэлектрическую проницаемость аналогом комплексного потенциала, причем условие *PT*-симметрии имеет вид:  $\epsilon(r) = \epsilon^*(-r)$  [2–4].

Последнее условие означает, что для вещественной и мнимой частей проницаемости верно  $\text{Re}[\epsilon(-r)] = \text{Re}[\epsilon(r)]$ ,  $\text{Im}[\epsilon(-r)] = -\text{Im}[\epsilon(r)]$ , тем самым, в среде присутствуют и поглощение, и усиление.

*PT*-симметричные оптические системы интенсивно изучаются многими авторами (см., например, обзор [2], а также [5–7]). Даже в линейном случае оптическая *PT*-симметричная структура обладает необычными свойствами в окрестности запрещенной полосы частот. К интересным эффектам можно отнести наблюдаемое в [8, 9] полное поглощение отраженного излучения. В системе с нарушенной *PT*-симметрией при достаточно сильном поглощении и усилении возможна генерация

светового излучения. Это явление легло в основу конструкции *PT*-симметричного лазера [10, 11].

При увеличении интенсивности падающего излучения необходимо учитывать нелинейные эффекты. Как правило, исследуются *PT*-системы с керровской нелинейностью [12, 13]. Среди описанных нелинейных эффектов следует отметить генерацию оптических солитонов [14] и возможность оптической бистабильности в активных средах [15, 16].

Рассмотрение сред с квадратичной нелинейностью представляет безусловный интерес для исследователей в связи с более низким порогом по интенсивности проявления нелинейных явлений.

Периодические структуры с квадратичной нелинейностью интенсивно исследуются последние 20 лет. Отметим, что даже в пассивной структуре (где нет поглощения/усиления) картина протекания нелинейных волновых взаимодействий гораздо сложнее, нежели в среде с кубической нелинейностью. Это обусловлено тем, что любой процесс в периодической среде с квадратичной нелинейностью представляет из себя конкуренцию между традиционным параметрическим взаимодействием волн с различными частотами и взаимодействием прямой и обратной волн одной частоты [17].

Такие процессы, как генерация второй гармоники, невырожденное трехчастотное взаимодействие, а также генерация субгармоники протекают при конкуренции между традиционным параметрическим взаимодействием волн с различными частотами и взаимодействием прямой и обратной волн.

В настоящей работе с помощью численного моделирования анализируется процесс распространения оптического излучения в среде с квадратичной нелинейностью и симметрией четность-время. Исследование проводится на основе оригинальной модели, учитывающей дифракцию. Более простые системы уравнений без учета дифракции и в пассивной среде изучались в работах [18, 19].

### ПОСТАНОВКА ЗАДАЧИ

Рассмотрим генерацию второй гармоники (ГВГ) фемтосекундным лазерным излучением в планарной периодической диэлектрической структуре, описываемой следующей зависимостью диэлектрической проницаемости [20]

$$\begin{aligned} \epsilon(z) = \epsilon_0 + \Delta\epsilon_R \cos\left(\frac{2\pi}{d}z\right) + i\Delta\epsilon_I \sin\left(\frac{2\pi}{d}z\right) + \\ + \Delta\epsilon_{R2} \cos\left(\frac{4\pi}{d}z\right) + i\Delta\epsilon_{I2} \sin\left(\frac{4\pi}{d}z\right) \end{aligned} \quad (1)$$

от координаты распространения  $z$ . В выражении (1)  $d$ -период брэгговской структуры, первое слагае-

мое  $\epsilon_0$  описывает среднее значение диэлектрической проницаемости, а амплитуды остальных слагаемых малы,  $\Delta\epsilon_R, \Delta\epsilon_{R2}$  и  $\Delta\epsilon_I, \Delta\epsilon_{I2}$  – амплитуды изменения вещественной и мнимой частей диэлектрической проницаемости соответственно для излучения на основной и удвоенной частотах.

Распространение оптического излучения в такой структуре в предположении когерентности излучения, усреднения по координате  $y$  и в пренебрежении дисперсией может быть описано с помощью волнового уравнения [21]

$$\frac{\partial^2 E}{\partial z^2} + \frac{\partial^2 E}{\partial x^2} - \frac{\epsilon(z)}{c^2} \frac{\partial^2 E}{\partial t^2} = \frac{4\pi}{c^2} \frac{\partial^2 P}{\partial t^2}, \quad (2)$$

где  $E(z, x, t)$  – напряженность электрического поля,  $P(z, x, t)$  – нелинейная поляризация. Методом связанных волн для медленно изменяющихся амплитуд прямых  $E_{1,+}$  и обратных  $E_{1,-}$  волн обеих гармоник из волнового уравнения (2) можно получить следующую систему связанных дифференциальных уравнений

$$\begin{aligned} i\left(\frac{\partial E_{1,+}}{\partial z} + \frac{\partial E_{1,+}}{\partial \tau}\right) + D_{x,1} \frac{\partial^2 E_{1,+}}{\partial x^2} + \delta E_{1,+} + (\kappa + g)E_{1,-} + \\ + E_{1,+}^* E_{2,+} = 0, \quad i\left(-\frac{\partial E_{1,-}}{\partial z} + \frac{\partial E_{1,-}}{\partial \tau}\right) + D_{x,1} \frac{\partial^2 E_{1,-}}{\partial x^2} + \\ + \delta E_{1,-} + (\kappa - g)E_{1,+} + E_{1,-}^* E_{2,-} = 0, \\ i\left(\frac{\partial E_{2,+}}{\partial z} + v \frac{\partial E_{2,+}}{\partial \tau}\right) + D_{x,2} \frac{\partial^2 E_{2,+}}{\partial x^2} + \delta_2 E_{2,+} + \\ + (\kappa_2 + g_2) E_{2,-} + \sigma (E_{1,+})^2 = 0, \\ i\left(-\frac{\partial E_{2,-}}{\partial z} + v \frac{\partial E_{2,-}}{\partial \tau}\right) + D_{x,2} \frac{\partial^2 E_{2,-}}{\partial x^2} + \delta_2 E_{2,-} + \\ + (\kappa_2 - g_2) E_{2,+} + \sigma (E_{1,-})^2 = 0. \end{aligned} \quad (3)$$

Отметим, что аналогичная система была получена в работах [18, 19] в пассивной среде и без учета дифракции по переменной  $x$ . В работе [20] были получены аналогичные уравнения без учета генерации второй гармоники и дифракции.

В уравнениях (3)  $\delta = (k_1 - \alpha)/l_{nl}$ ,  $\delta_2 = (k_2 - 2\alpha)/l_{nl}$  – отстройки от брэгговского резонанса на основной и удвоенной частотах,  $\Delta k = k_2 - 2k_1$  – расстройка фазовых скоростей,  $k_{1,2}$  – волновые числа на основной и удвоенной частотах,  $\alpha = \frac{\pi}{d}$ ,  $z$  – переменная, вдоль которой распространяется излучение, измеряется в единицах нелинейной длины  $l_{nl} = (\gamma_1 \sqrt{I_1})^{-1} (z \rightarrow z l_{nl})$ ,  $x$  – поперечная переменная, измеряется в единицах поперечной ширины пучка  $a_x (x \rightarrow x/a_x)$ ,

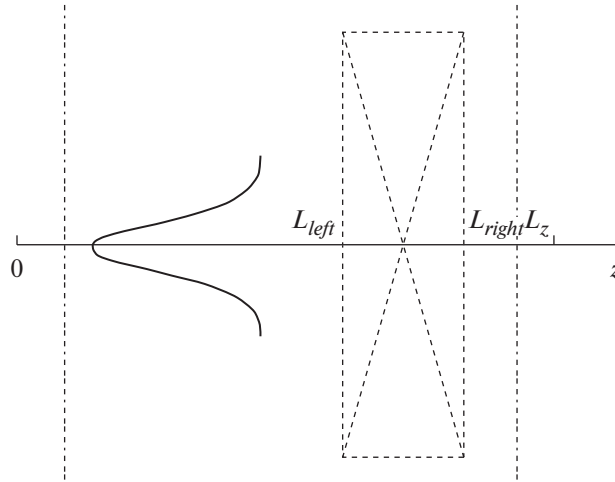


Рис. 1. Схема распространения лазерного излучения в периодической среде в условиях ГВГ.

$\tau = \frac{t}{\eta} l_{nl}$  – безразмерное время, связанное с физическим временем  $t$  соотношением,

$$\eta = \frac{\epsilon_0 \omega_0}{c^2 k_1} = \frac{\sqrt{\epsilon_0}}{c}, \text{ с учетом } k_1^2 = \frac{\epsilon_0}{c^2} \omega_0^2, \omega_0 - \text{ частота}$$

брэгговского резонанса.  $\kappa = \frac{\omega_0^2 \Delta \epsilon_R}{c^2 k_1} \frac{1}{4 l_{nl}} =$

$$= \frac{\omega_0}{c \sqrt{\epsilon_0} (\omega_0)} \frac{\Delta \epsilon_R}{4 l_{nl}}, \quad \kappa_2 = \frac{4 \omega_0^2 \Delta \epsilon_{R2}}{c^2 k_2} \frac{1}{4 l_{nl}} =$$

$\frac{2 \omega_0}{c \sqrt{\epsilon_0} (2 \omega_0)} \frac{\Delta \epsilon_{R2}}{4 l_{nl}}$  – параметры брэгговской свя-

зи.  $g = \frac{\omega_0^2 \Delta \epsilon_I}{c^2 k_1} \frac{1}{4 l_{nl}} = \frac{\omega_0}{c \sqrt{\epsilon_0}} \frac{\Delta \epsilon_I}{4 l_{nl}}, g_2 = \frac{4 \omega_0^2 \Delta \epsilon_{I2}}{c^2 k_2} \frac{1}{4 l_{nl}} =$

$\frac{2 \omega_0}{c \sqrt{\epsilon_0} (2 \omega_0)} \frac{\Delta \epsilon_{I2}}{4 l_{nl}}$  – параметры несимметричной связи между встречными волнами.

$\gamma_1 = \frac{4 \pi}{c^2 k_1} \omega_0^2 \chi^{(2)}(-\omega_0, 2 \omega_0), \gamma_2 = \frac{8 \pi}{c^2 k_2} \omega_0^2 \chi^{(2)}(\omega_0, \omega_0)$  –

коэффициенты квадратичной нелинейности, где  $\chi^{(2)}$  – нелинейная восприимчивость среды,

$\sigma = \gamma_2 / \gamma_1$  – их отношение;  $D_{x,1} = (2 k_1 l_{nl} a_x^2)^{-1},$

$D_{x,2} = (2 k_2 l_{nl} a_x^2)^{-1}$  – дифракционные параметры для волны на основной и удвоенной частоте, соответственно.

Мы предполагаем, что периодическая среда окружена однородной линейной средой с диэлектрической проницаемостью  $\epsilon_0$ , в которой можно пренебречь расплыванием пучка за счет дифракции (рис. 1). Тем самым распространение лазер-

ного излучения в такой среде (при  $0 < x < L_x$  и  $0 < z < L_{left}, L_{right} < z < L_z$ ) описывается уравнениями (3), в левой части которых оставлены только два первых слагаемых.

На границах рассматриваемых областей ставятся граничные условия

$$\begin{aligned} E_{1+}(z=0, x, \tau) &= E_{2+}(z=0, x, \tau) = \\ &= E_{1-}(z=L_z, x, \tau) = E_{1-}(z=L_z, x, \tau) = 0, \\ E_{1\pm}(z, x=0, \tau) &= E_{2\pm}(z, x=0, \tau) = \\ &= E_{1\pm}(z, x=L_x, \tau) = E_{2\pm}(z, x=L_x, \tau) = 0, \end{aligned} \quad (4)$$

при  $\tau = 0$  задается начальное условие

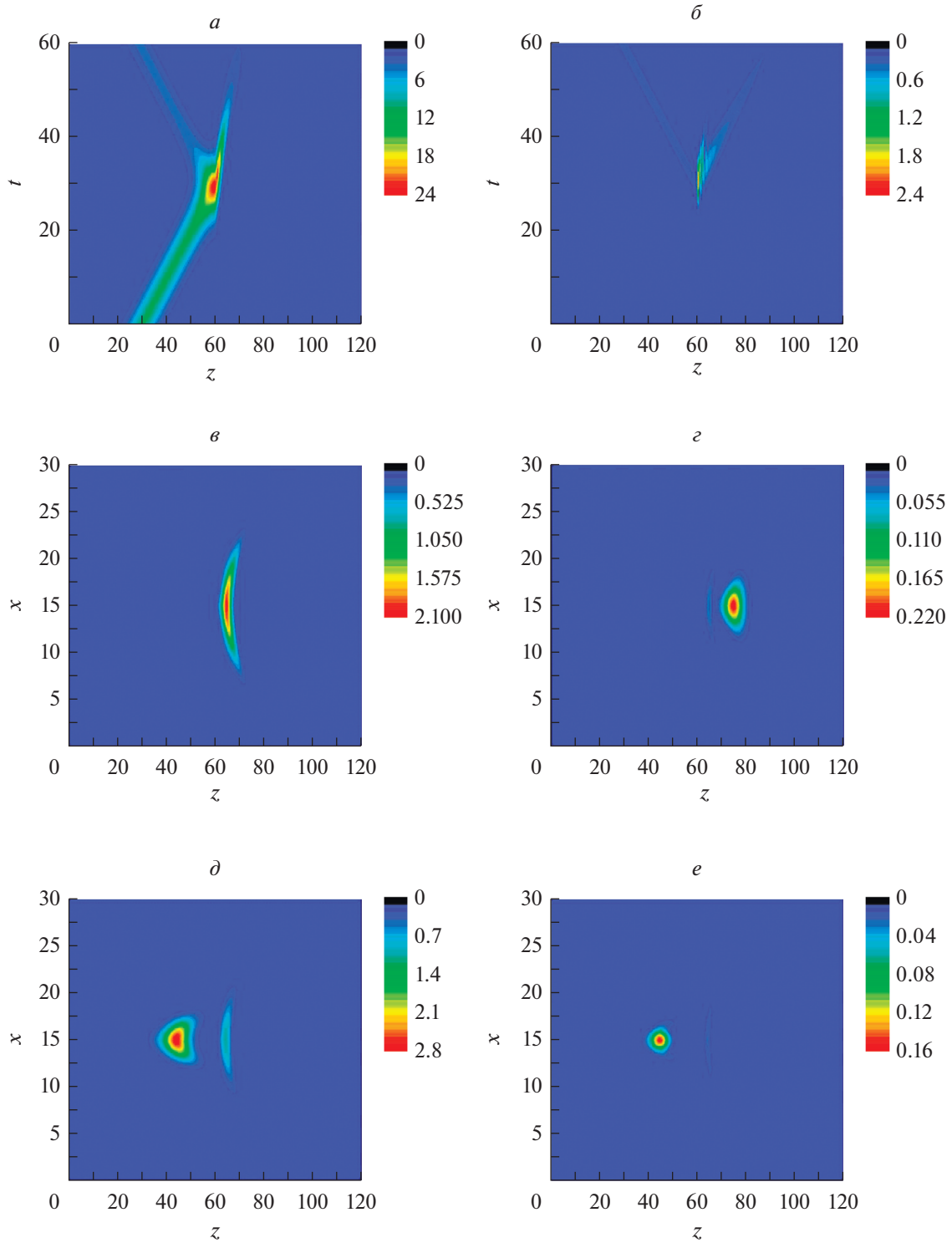
$$\begin{aligned} E_{1+}(z, x, \tau=0) &= E_{10}(z, x), \quad E_{2+}(z, x, \tau=0) = \\ &= E_{20}(z, x), \quad E_{10}(z=0) = E_{10}(z=L_{left}) = 0. \end{aligned} \quad (5)$$

Рассмотрим падение на периодическую структуру излучения на основной частоте в виде пучка, имеющего солитонный профиль, при отсутствии излучения на частоте второй гармоники

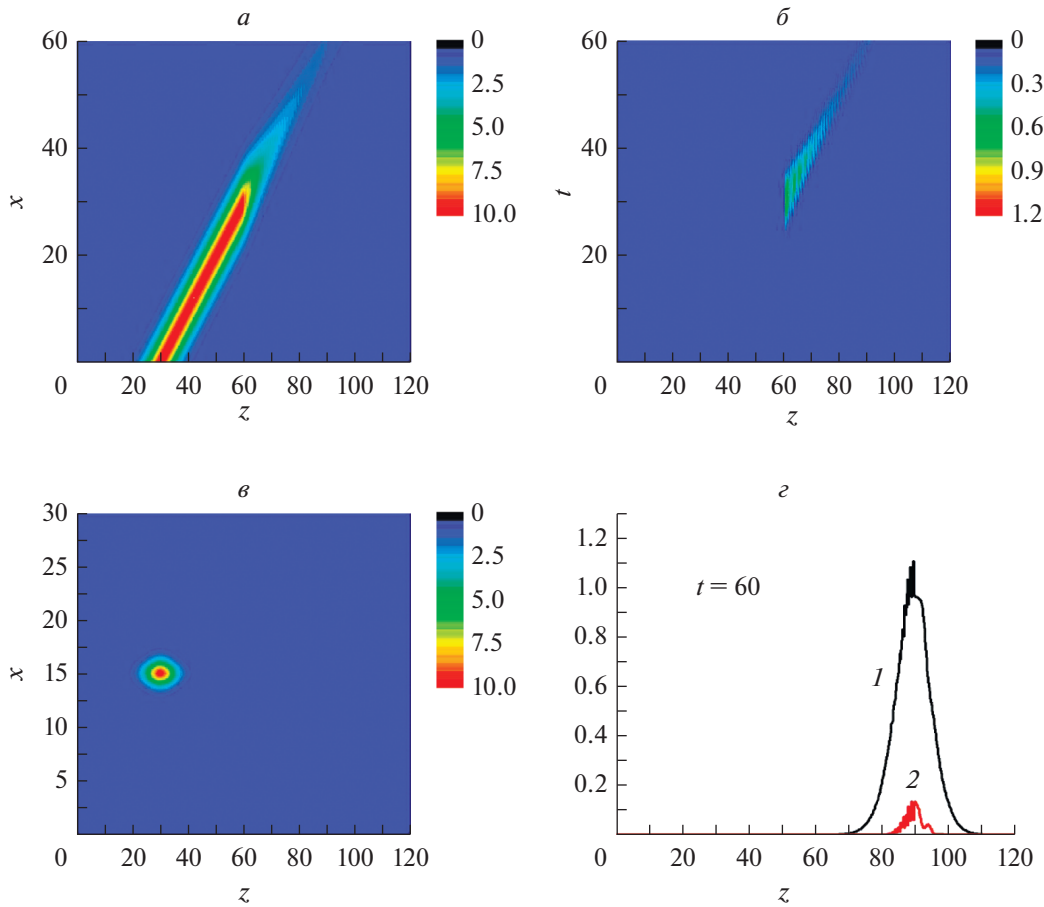
$$\begin{aligned} E_{10}(z, x) &= A_{10} c h^{-1} \left( \left( z - \frac{L_{left}}{2} \right) / h_z \right) \times \\ &\times c h^{-1} \left( \left( x - \frac{L_x}{2} \right) / h_x \right), \quad E_{20}(z, x) = 0. \end{aligned} \quad (6)$$

Параметры  $h_z$  и  $h_x$  характеризуют ширину пучка в продольном и поперечном направлении, соответственно.

Уравнения (3)–(6) решаются численно с использованием консервативной нелинейной разностной схемы на характеристической сетке, реализуемой с помощью итерационного алгоритма.



**Рис. 2.** Формирование брэгговских солитонов для волны на основной частоте (*a*) и частоте второй гармоники (*б*) для пассивной среды ( $g = 0$ ). Профиль пучка прямой волны на основной частоте (*в*) и удвоенной частоте (*г*), обратной волны на основной частоте (*д*) и удвоенной частоте (*е*) в момент времени  $\tau = 45$ .



**Рис. 3.** Формирование брэгговских солитонов для волны на основной частоте (а) и частоте второй гармоники (б) для активной среды ( $g = 1$ ). Профиль падающего пучка на основной частоте (в). Профиль пучка прямой волны на основной частоте (кривая 1) и удвоенной частоте (кривая 2) в центральном сечении ( $x = 15$ ) в момент времени  $\tau = 60$  (д).

### ЧИСЛЕННОЕ МОДЕЛИРОВАНИЕ

Численные расчеты в настоящей работе проводились для следующих значений безразмерных параметров, которые соответствуют окрестности нижней границы брэгговской щели:

$$\begin{aligned} \kappa = 1, \quad \kappa_2 = g_2 = 0, \quad \delta = -0.9, \quad \delta_2 = 5, \\ \sigma = 1/2, \quad A_{10} = \sqrt{10}, \quad h_z = 5, \end{aligned} \quad (7)$$

$$\begin{aligned} h_x = 1, \quad D_{x,1} = D_{x,2} = 0.1, \quad g = 0, 1, -1, \quad L_{left} = 60, \\ L_{right} = 90, \quad L_z = 120, \quad L_x = 10. \end{aligned}$$

Для параметров (7) ранее [18] было продемонстрировано формирование брэгговских солитонов на основной частоте и частоте второй гармоники в пассивной 1D полубесконечной периодической среде, причем формирование солитонов происходило как для прямых волн, так и для отраженных волн.

Можно показать, что учет конечной ширины пучка в поперечном направлении (вдоль пере-

менной  $x$ ), а также активная среда оказывают существенное влияние на формирование и распространение брэгговских солитонов. Рисунки 2, 3 и 4 демонстрируют особенности формирования солитонов при учете конечной ширины пучка в поперечном направлении для пассивной среды ( $g = 0$ , рис. 2) и двух активных сред, различающихся порядком поглощающих и генерирующих слоев:  $g = 1$  (рис. 3) и  $g = -1$  (рис. 4).

Сравнение с результатами работы [18], показывает, что учет конечной ширины пучка в поперечном направлении качественно не изменяет характер, приводя преимущественно к трансформации исходного солитонного пучка к серповидной форме. Заметим, что серповидная форма пучка прямой волны на основной частоте отражается также в форме пучков остальных трех волн: отраженной волны на основной частоте и обеих волн на удвоенной частоте.

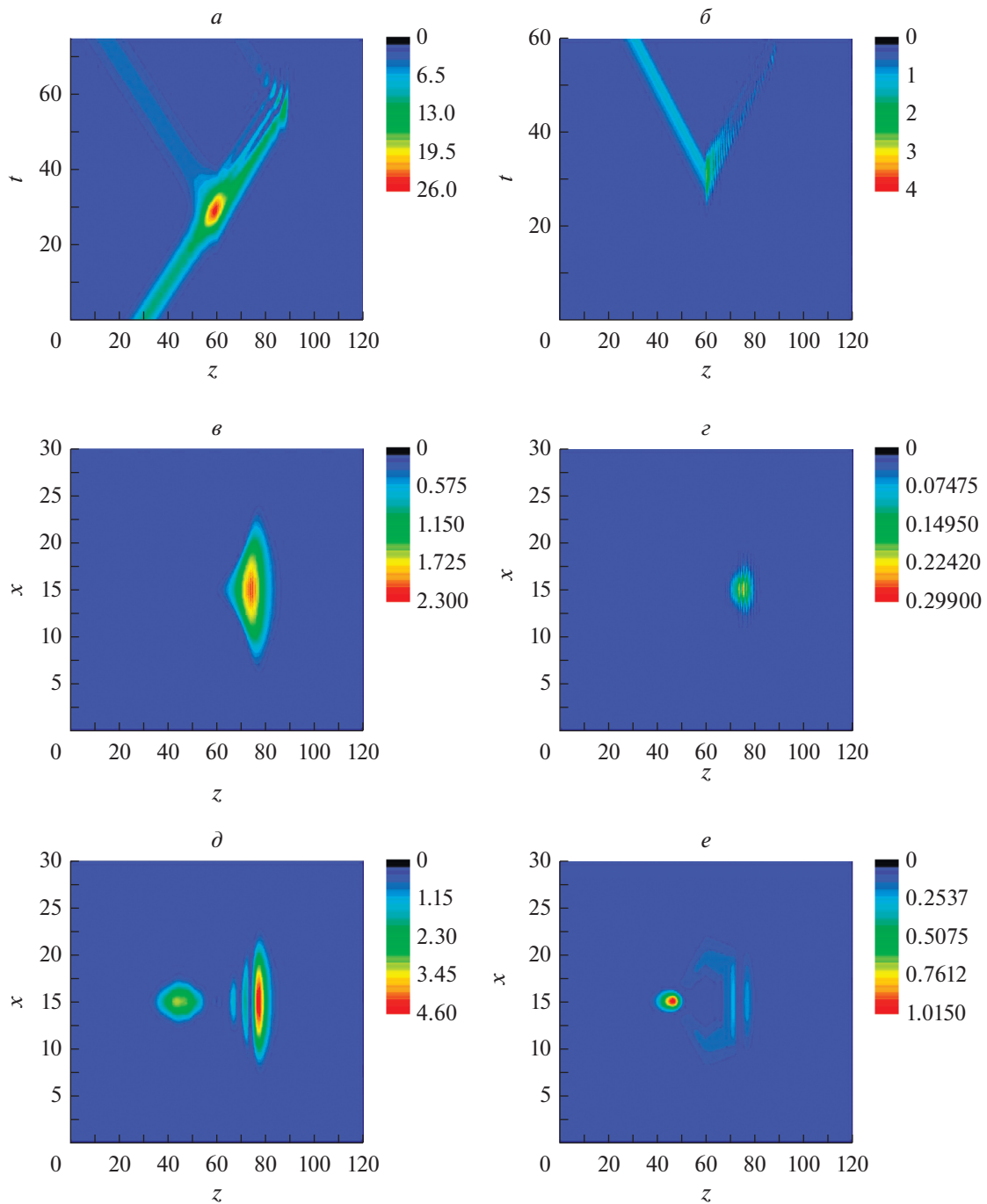


Рис. 4. Аналогично рис. 2, при тех же параметрах, кроме  $g = -1$ .

Наличие активных компонентов периодической структуры приводит к существенной трансформации картины формирующихся солитонов. Причем критически важным в этом случае является порядок чередования поглощающих и усиливающих слоев. В частности, при  $g = 1$  (рис. 3) обратные волны не формируются. Действительно, в этом случае  $\kappa - g = \kappa_2 - g_2 = 0$ , поэтому во

втором и четвертом уравнениях отсутствует генерирующее слагаемое.

При ином чередовании активных и пассивных слоев, картина формирования солитонов существенно изменяется. Помимо отражения основной волны от передней границы периодической структуры наблюдается также отражение от задней границы (рис. 4а). В результате на основной

частоте формируется обратная волна, состоящая из нескольких субпучков (рис. 4з), тогда как распространение остальных волны близко к солитоноподобному.

### ЗАКЛЮЧЕНИЕ

Рассмотрены особенности формирования брэгговских солитонов в пассивных и активных средах в условиях генерации второй гармоники при учете конечной ширины пучка в поперечном направлении. Установлено, что порядок чередования усиливающих и поглощающих слоев в активной периодической структуре оказывает существенное влияние на процесс формирования солитонов прямой и обратной волны на основной и удвоенной частотах. Показано, что изменением чередования генерирующих и поглощающих слоев можно добиться как усиления пропускания излучения через периодическую структуру, так и усиления отражения излучения от границ периодической структуры.

Исследование выполнено при поддержке Междисциплинарной научно-образовательной школы Московского государственного университета «Фотонные и квантовые технологии. Цифровая медицина».

### СПИСОК ЛИТЕРАТУРЫ

1. *Bender C.M., Boettcher S.* // Phys. Rev. Lett. 1998. V. 80. P. 5243.
2. *Зябловский А.А., Виноградов А.П., Пухов А.А. и др.* // УФН. 2014. Т. 184. № 11. С. 1177; *Zyablovsky A.A., Vinogradov A.P., Pukhov A.A. et al.* // Phys. Usp. 2014. V. 57. No. 11. P. 1063.
3. *Makris G., El-Ganainy R., Christodoulides D.N., Muslimani Z.H.* // Phys. Rev. Lett. 2008. V. 100. Art. No. 103904.
4. *Ruter C.E., Makris G., El-Ganainy R. et al.* // Nat. Phys. 2010. V. 10. P. 192.
5. *Suchkov S.V., Sukhorukov A.A., Huang J. et al.* // Laser Photon. Rev. 2016. V. 10. P. 1.
6. *Konotop V.V., Yang J., Zezyulin D.A.* // Rev. Modern Phys. 2016. V. 88. No. 3. Art. No. 035002.
7. *El-Ganainy R., Makris K.G., Khajavikhan M. et al.* // Nature Phys. 2018. V. 14. P. 11.
8. *Feng L., Xu Y.-L., Fegadolli W.S. et al.* // Nature Mater. 2013. V. 12. P. 108.
9. *Feng L., Zhu X., Yang S. et al.* // Opt. Expr. 2014. V. 22. No. 2. P. 1760.
10. *Gu J., Xi X., Ma J., Yu Z., Sun X.* // Sci. Rep. 2016. V. 6. Art. No. 37688.
11. *Longhi S.* // Sci. Rep. 2010. V. 82. No. 3. Art. No. 031801.
12. *Li K., Zezyulin D.A., Kevrekidis P.G. et al.* // Phys. Rev. A. 2013. V. 88. Art. No. 053820.
13. *Ögren M., Abdullaev F.Kh., Konotop V.V.* // Opt. Lett. 2017. V. 42. No. 20. P. 4079.
14. *Miri M.-A., Aceves A.B., Kottos T. et al.* // Phys. Rev. A. 2012. V. 86. No. 3. Art. No. 033801.
15. *Liu J., Xie X.-T., Shan C.-J. et al.* // Laser Phys. 2015. V. 25. Art. No. 015102.
16. *Phang S., Vukovic A., Susanto H. et al.* // Opt. Lett. 2014. V. 39. No. 9. P. 2603.
17. *Манцызов Б.И.* ГВГ в фотонных кристаллах. Когерентная и нелинейная оптика фотонных кристаллов. М.: Физматлит, 2009.
18. *Conti C., Assanto G., Trillo S.* // Opt. Lett. 1997. V. 22. No. 17. P. 1350.
19. *Conti C., Assanto G., Trillo S.* // Phys. Rev. Lett. 1997. V. 78. P. 2341.
20. *Komissarova M.V., Marchenko V.F., Shestakov P.Yu.* // Phys. Rev. E. 2019. V. 99. No. 4. Art. No. 042205.
21. *Pelinovsky D., Sears J., Brzozowski L., Sargent E.H.* // J. Opt. Soc. Amer. B. 1997. V. 19. P. 43.

## Wave beams in active periodic structures with quadratic nonlinearity

M. V. Komissarova<sup>a</sup>, I. G. Zakharova<sup>a, \*</sup>, T. M. Lysak<sup>a</sup>, A. A. Kalinovich<sup>a</sup>

<sup>a</sup> *Lomonosov Moscow State University, Moscow, 119991 Russia*

*\*e-mail: zaharova@physics.msu.ru*

We investigated the features of the formation of parametric optical solitons in a Bragg structure doped with active elements with a quadratic nonlinearity. Using numerical simulations, we have demonstrated that the competition between nonlinear coupling, Bragg reflection, and additional gain/absorption profile leads, in general, to an asymmetric picture of the propagation of two-frequency solitons.